8 Referência Bibliográficas

- 1 SEMICONDUCTOR INDUSTRY ASSOCIATION. **The International Technology Roadmap for Semiconductors**: Emerging Research Devices, 2004 Update.
- 2 TOWGAW, P. D.; LENT, S. C. Logical devices implemented using quantum cellular automata. Journal of Applied Physics, v. 75, n. 3, p. 1818-1825 fev. 1994.
- LENT, C. S.; TOWGAW, P. D. A Device Architecture for Computing with Quantum Dots. PROCEEDING OF THE IEEE, v. 85, n. 4, p. 541-557, abr. 1997.
- 4 AMLANI, I. et al. **Digital Logic Gate Using Quantum-Dot Cellular Automata.** SCIENCE, v. 284, p. 289-291, abr. 1999.
- 5 ZEBULUM, R. S.; PACHECO, M. A. C.; VELLASCO, M. M. B. R. Evolutionary Electronics: Automatic Design of Electronic Circuits and Systems by Genetic Algorithm. Boca Raton: CRC Press, 2002. ISBN: 0849308658.
- 6 MICHALEWICS, Z. Genetic Algorithm + data structures = evolution programs, Springer-Verlag, 1996.
- GOLDBERG, D. E. Genetic Algorithm in Search, Optimization, and Machine Learning, Addison-Wesley Publishing Company, Inc. 1989.
- 8 MITCHELL, M. An Introduction to Genetic Algorithm, The MIT Press, USA, 1994.
- 9 DARWIN, C., On The Origin of Species, London, John Murray, 1859.A
- 10 DAVIS, L. **Handbook of Genetic Algorithm,** Van Nostrand Reinhold, USA, 1991.
- 11 LAZO, J. G. L. Determinação do Valor de Opções Reais por Simulação Monte Carlo com Aproximação por Números Fuzzy e Algoritmos Genéticos, Tese de Doutorado, Pontifícia Universidade Católica do Rio de Janeiro, Brasil, Jul. 2004.
- 12 TANSCHEIT, R. **Sistemas Fuzzy,** DEE, Pontifícia Universidade Católica do Rio de Janeiro, Brasil.
- 13 ZADEH, L. A. Fuzzy sets, Information and Control, 8, 1965, p. 338-353.
- 14 PEDRYCZ, W., GOMIDE, F. An Introduction to Fuzzy Sets: Analysis and Design, MIT Press, Apr. 1998, ISBN: 0262161710.
- 15 ZIMMERMANN, H. J. **Fuzzy Set Theory and its Applications**, Kluwer Academic Publishers, 2nd ed. 1991.

- BOJADZIEV, G., BOJADZIEV, M. Fuzzy Logic for Business, Finance and Management, ed. World Scientific Publishing Co. Ltd., Dec. 1997, ISBN: 9810228945.
- 17 HAYKING, S., Neural Networks A Comprehensive Foundation, Macmillan Colege Publishing Company, Inc. p. 401-402, 1999.
- 18 OSÓRIO, F. S., VIEIRA, R., **Sistemas Híbridos Inteligentes,** XIX Congresso da SBC, ENIA'99 Encontro Nacional de Inteligência Artificial, Tutorial, Rio de Janeiro, Julho 1999.
- 19 JANG, J.-S., **ANFIS: Adaptative-Neural-Based Fuzzy Inference Systems.** IEEE Transactions on Systems, Man and Cybernetics, May 1993.
- 20 JANG, J.-S., SUN, C.-T., MIZUTANI, E., Neuro-Fuzzy and Soft Computing, Prentice Hall, 1997.
- 21 KLIMECK, G. et. al. **Genetically Engineered Nanoelectronics**, First NASA/DoD Workshop on Evolvable Hardware, Pasadena, July 1999.
- 22 STOICA, A. et. al. **Evolutionary Design of Electronics Devices and Circuits,** Congress on Evolutionary Computation, Washington DC, July 1999.
- TOUR, J. M. et. al. **Nanocell Logic Gate for Molecular Computing**, IEEE Transaction on Nanotechnology, v. 1, n. 2, p. 100 109, June 2002.
- 24 ROERMUND, A. V. e HOEKSTRA, J, From Nanotechnology to Nanoelectronics Systems, From SETs to Neural Nets, ISCAS 2000 IEEE International Symposium on Circuits and Systems, Geneva, May 2000.
- 25 SCHMID, A. e LEBLEBICI, Y., Robust Circuit and System Design Methodologies for Nanometer-Scale Devices and Single-Electron Transistors, IEEE Transactions on Very Large Scale Integration (VLSI) Systems, v. 12, n. 11, Nov. 2004.
- 26 OYA, T. et al., Single-Electron Circuit for Inhibitory Spiking Neural Network with Fault-Tolerant Architecture, ISCAS 2005 IEEE International Symposium on Circuits and Systems, May 2005.
- 27 ROERMUND, A. V. e HOEKSTRA, J., **Spike Correlation Based Learning for Unsupervised Neural Lattice Structures,** ISCAS 2001 IEEE International Symposium on Circuits and Systems, p. 425-428, Sydney, 2001.
- 28 GLOBUS, A., LAWTON, J. e WIPKE, T. Automatic Molecular Design Using Evolutionary Techniques, NAS Technical Report NAS-99-005, Feb 1999.
- 29 LAMEIJER, E-W. et. al. **The Molecule Evoluator: an Interactive Evolutionary Algorithm for Designing Drug Molecules,** GECCO'05, p. 1969-1976, Washington DC, June 2005.
- 30 EXNER, T. E. e BRICKMANN, J. **The identification of complementarity of molecular surfaces using fuzzy set theory,** J. Mol Model, v. 7, p. 370-373, Sep. 2001.
- 31 SARKAR, S. K., BISWAS, A. K., CHOUDHURY, S. **Soft Computing Tools for the Simulation of Efficient Nanodevice Models,** IEEE 2003.

- 32 MASIERO, L. P. et. al. **Apoio a Síntese de Circuitos Moleculares,** VII SBAI, São Luis, Setembro 2005.
- 33 GIRO, R., CYRILLO, M., GALVÃO, D. S. Using Artificial Intelligence Methods to Design New Conducting Polymers, Materials Research, v. 6, n. 4, p. 523-528, 2003.
- 34 PACHECO, M. A. C. e MASIERO, L. P. **Projeto de Novos Polímeros Condutores**, Semana da Eletrônica 2004, UFRJ, Rio de Janeiro, 2004.
- 35 BROWN, J. Q. e McSHANE, M. J. **Optimal Design of Nanoengineered Implementable Optical Sensors Using a Genetic Algorithm,** 26th Annual International Conference of the IEEE EMBS, San Francisco, USA, Sep 2004.
- 36 LOHN, J. et. al. **Evolvable System s for Space Applications**, International Conference on Space Mission Challenges, Pasadena, July 2003.
- 37 JOHNSON, M. A. et. al. Nanosat Intelligent Power System Development, Second international Conference on Integrated Micro/Nanotechnology for Space Applications, Pasadena, USA, 1999.
- 38 TOTH, G. et. al. **Quantum Cellular Neural Network**, Superlattices and Microstructure, v. 20, n. 4, 1996.
- 39 CAVALCANTI, A., FREITAS Jr, R. A. Collective Robotic Coherence Behaviour for Nanosystems with Sensor-Based Neural Motion, IEEE International Conference on Artificial Intelligent Systems, 2002.
- 40 DURAKBASA, M. N. et. al. **Artificial Intelligence Based Supervision and Confirmation of Complex Measurement Systems,** METROLOGIA 2003, Recife, Setembro 2003.
- 41 SHOR, P. W. **Algorithms for quantum computation: Discrete log and factoring,** 35th Annual Symposium on the Foundations of Computer Science, IEEE Computer Society Press, p. 124-134, 1994.
- 42 HAN, K.H., KIM, J.H. Genetic quantum algorithm and its application to combinatorial optimization problem, Congress on Evolutionary Computation, IEEE press, p. 1354-1360, 2000.
- 43 HAN, K.H., KIM, J.H. Quantum-inspired evolutionary for a class of combinatorial optimization, IEEE Transactions on Evolutionary Computation, v. 6, p. 580-593, 2002.
- 44 ABS DA CRUZ, A. V. et. al., Quantum-inspired evolutionary algorithms and its application to numerical optimization problems, ICONIP 2004, p. 212-217, 2004.
- 45 ABS DA CRUZ, A. V. et. al. Cultural Operators for a Quantum-Inspired Evolutionary Algorithm Applied to Numerical Optimization Problems, IWINAC (2), p. 1-10, 2005.
- LENT, C. S., TOWGAW, P. D. **Bistable saturation due to single electron charging in rings of tunnel junctions.** Journal of Applied Physics, v. 75, p. 4077-4080, Apr. 1994.
- 47 WAUGH, F. R. et al. **Single-electron charging in double and triple quantum dots with tunable coupling.** Phys. Rev. Lett, v. 75, p. 705-708, Jul. 1995.

- 48 HOFMANN, F. et al. **Single electron switching in a parallel quantum dot.** Phys. Rev. B., v. 51, pp. 13872-13875, May 1995.
- 49 FIELD, M. et al. **Measurements of coulomb blockade with a noninvasive voltage probe.** Phys. Rev. Lett., v. 70, p. 1311-1314, Mar. 1993.
- 50 NIEMIER, M. **Design Digital Systems in Quantum Cellular Automata,** Master's thesis, University of Notre Dame, Apr. 2000.
- NIEMIER, M. et al. A potentially implementable fpga for quantum dot cellular automata, First Workshop on Non-Silicon Computation (NSC-1), with 8th Intl. Symposium on High Performance Computer Architecture (HPCA-8), Feb. 2002.
- 52 NIEMIER, M. The effects of a New Technology on the Design, Organization, and Architecture on Computing Systems., Ph.D. thesis, University of Notre Dame, Sep. 2003.
- 53 DYSART, T. and KOGGE, P. M. Strategy and prototype tool for doing fault modeling in a nano-technology, IEEE Nano Conference, Aug. 2003.
- 54 KIM, K. et al. Towards Designing Robust QCA Architecture in the Presence of Sneak Noise Paths, Design, Automation and Test, Europe Conference and Exhibition 2005.
- 55 FROST, S. E. Memory Architecture for Quantum –dot Cellular Automata, Master's thesis, University of Notre Dame, Mar. 2005.
- 56 AMLANI, I., et al. **Demonstration of a functional quantum-dot cellular automata cell**, J. Vac. Sci. Tech., p. 3795-3799, 1998.
- 57 AMLANI, I., et al. **Digital logic gate using quantum-dot cellular automata**, Science. p. 289-291, 1999.
- 58 AMLANI, I., et al. Experimental demonstration of a leadless quantum-dot cellular automata cell, Appl. Phys. Lett., v. 77(5), p.738-743, Jul. 2000.
- 59 SNIDER, G. L., et al. Experimental demonstration of quantum-dot cellular automata, Semicond, Sci. Technol., v. 13, p. A130-A134, UK, 1998.
- 60 POROD, W. **Quantum-dot devices and quantum-dot cellular automata.** Inter. J. Bifurcation and Chaos, v. 7, n. 10, p. 2199-2218, 1997.
- 61 TÓTH, G., LENT, S. Quantum computing with quantum-dot cellular automata, Phys. Rev. A, v. 63, p. 1-9. 2000.
- 62 COWBURN, R. P., WELLAND, M. E. Room Temperature Magnetic Quantum Cellular Automata, Science, v. 287, p. 1466-1468, 2000
- 63 PARISH, M. C. B. Modelling of Physical Constraints on Bistable Magnetic Quantum Cellular Automata, Ph.D. Thesis, University of London, UK, 2003.
- 64 LENT, C. S., ISAKSEN, B., LIEBERMAN, M. Molecular Quantum-Dot Cellular Automata, J. Am. Chem. Soc., v. 125, p. 1056-1063, 2003.
- 65 LENT, C. S. Molecular Electronics: Bypassing the Transistor Paradigm, Science, v. 288, p. 1597-1599, 2000

- 66 LENT, C. S., ISAKSEN, B. Clocked Molecular Quantum-Dot Cellular Automata, IEEE trans. Electron Devices, v. 50, n. 9, p. 1890-1895, 2003.
- 57 JIAO, J. et al. Building blocks for the molecular expression of quantum cellular automata. Isolations and characterization of a covalence bonded square array of two ferrocenium and two ferrocene complex, J. Am. Chem. Soc., v. 125, p. 7522-7523, 2003.
- 68 LI, Z., BEATTY, A. M., FEHLNER, T. P. Molecular qca cells. 1. structure and functionalization of an unsymmetrical dinuclear mixed-valence complex for surface binding, Inorganic Chemistry, v. 42, p.5707-5714, 2003.
- 69 LI, Z., FEHLNER, T. P. Molecular qca cells. 2. characterization of an unsymmetrical dinuclear mixed-valence complex bound to a au surface by an organic linker, Inorganic Chemistry, v. 42, p.5715-5721, 2003.
- 70 MANIMARAN, M. et al. Scanning tunneling microscopy and spectroscopy investigation of qca molecules, Ultramicroscopy, p. 55-63, 2003.
- 71 LENT, C. S. et. al., Aquinas, A quantum interconnected network array simulator, Fifth International Workshop on Computational Electronics, May 1997.
- 72 BERZON, D., FOUNTAIN, T, Computer Memory Structures Using QCA, Report 98/1, University College London, 1998.
- 73 NIEMIER, M. T., KONTZ, M. J., KOGGE, P. M., A design of and design tools for a novel quantum dot based microprocessor, 27th Ann. Design Automation Conference, p. 227-232, Jun. 2000.
- WALUS, K., et. al., **QCADesigner: A Rapid Design and Simulation Tool for Quantum-Dot Cellular Automata**, Second International Workshop on Quantum Dots for Quantum Computing and Classical Size Effect Circuits, university of Notre Dame, Aug. 2003.
- 75 WALUS, K., et. al., **QCADesigner: A CAD Tool for an Emerging Nano-Technology,** Micronet Annual Workshop, Oct. 2003.
- 76 DYSART, T. J., **Defect Properties and Design Tools for Quantum Dot Cellular Automata**, Master's thesis, University of Notre Dame, Jul. 2005.
- 77 HOPFIELD, J. J., Neurons with graded response have collective computation properties like those of two-state neurons, Proc. Natl. Acad. Sci., 81:3088-3092, USA 1984.
- 78 HOPFIELD, J. J., TANK, D. W., Neuron computation of decisions in optimization problems, Biological Cybernetics, 52:141-152, 1985.
- 79 HAYKIN, S., **Neural Networks: A Comprehensive Foundation**, Second Edition, Prentice Hall, Upper Saddle River, New Jersey, ISBN: 013273350-1.
- 80 TOUGAW, P. D., LENT, C. S., **Dynamic Behavior of Quantum Cellular Automata**, Journal of Applied Physics, vol. 80, n. 8, p. 4722-4736, October 15, 1996.

- 81 POTTER, M. A., DE JONG, K. A., A Cooperative Co-Evolutionary Approach to Function Optimization, The Third Parallel Problem Solving From Nature, Jerusalem, p. 249-257, Springer-Verlag, 1994.
- 82 DA CRUZ, A. V. A., Otimização de Planejamento com Restrições de Precedência usando Algoritmos Genéticos e Co-Evolução Cooperativa, Dissertação de Mestrado, Departamento de Engenharia Elétrica, PUC-Rio, 2003.
- 83 MOON, C. et. al., **An Efficient Genetic Algorithm for the Traveling Salesman Problem with Precedence Constraints,** European Journal of Operational Research, 140, p. 606-617, 2002.
- 84 GERGEL, N. et. al., Modeling QCA for Area Minimization in Logic Syntesis, GLSVLSI'03, Washington, April 28-29, 2003.
- 85 WALUS, K., JULLIEN, G. A., DIMITROV, V. S., Computer Arithmetic Structures for Quantum Cellular Automata, IEEE Asilomar Conference on Signals, Systems and Computer, November 9-12, 2003, Pacific Grove, CA.

Apêndice 1

Este apêndice é utilizado para mostrar os cálculos da "kink energy" de todos os possíveis pares de células, mostrados na tabela 1, que estão dentro do raio de vizinhança utilizado neste simulador.

A "kink energy" é calculada tal como foi explicada no capítulo 3. A interação entre duas células com as polarizações diferentes e com polarizações iguais é igual em módulo, porém com o sinal invertido. É fácil observar que uma é atrativa e a outra repulsiva.

Células Rotacionadas Lado a Lado

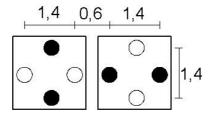


Figura 45- Células rotacionadas lado a lado.

Energia para polarizações diferentes:

$$E_1 = k \left[\frac{-1}{2} + \frac{+1}{1,47} + \frac{+1}{2,79} + \frac{-1}{2,44} + \frac{+1}{2,79} + \frac{-1}{2} + \frac{-1}{3,4} + \frac{+1}{2,79} + \frac{+1}{1,47} + \frac{-1}{0,6} + \frac{-1}{2} + \frac{+1}{1,47} + \frac{-1}{2,44} + \frac{+1}{1,47} + \frac{+1}{2,79} + \frac{-1}{2} \right]$$

$$E_1 = -0.625k.$$

A "kink energy" é igual a: $E_k = -0.625 - 0.625 = -1.25k$.

Uma Célula Convencional e uma Célula Rotacionada Lado a Lado

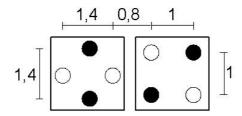


Figura 46– Uma célula convenciona e uma célula rotacionada lado a lado.

Energia para polarizações diferentes:

$$E_{1} = k \left[\frac{-1}{1,5} + \frac{+1}{2,5} + \frac{+1}{1,92} + \frac{-1}{2,77} + \frac{+1}{2,25} + \frac{-1}{3,23} + \frac{-1}{2,25} + \frac{+1}{3,23} + \frac{+1}{0,94} + \frac{-1}{1,86} + \frac{-1}{0,94} + \frac{+1}{1,86} + \frac{-1}{1,92} + \frac{+1}{2,77} + \frac{+1}{1,5} + \frac{-1}{2,5} \right]$$

$$E_1 = 0k$$
.

A "kink energy" é igual a: $E_k = 0k$.

Células Convencionais Distanciadas de Meia Célula

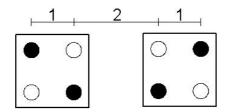


Figura 47- Células convencionais distanciadas de meia célula.

Energia para polarizações diferentes:

$$E_1 = k \left[\frac{-1}{3} + \frac{+1}{4} + \frac{+1}{3,16} + \frac{-1}{4,12} + \frac{+1}{2} + \frac{-1}{3} + \frac{-1}{2,23} + \frac{+1}{3,16} + \frac{-1}{3} + \frac{+1}{4} + \frac{+1}{3,16} + \frac{-1}{4,12} + \frac{+1}{2} + \frac{-1}{3} + \frac{-1}{2,23} + \frac{+1}{3,16} \right]$$

$$E_1 = 0,05k \ .$$

A "kink energy" é igual a: $E_k = 0.05 - (-0.05) = 0.1k$.

Células Rotacionadas Distanciadas de Meia Célula

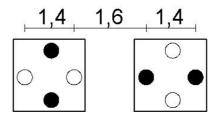


Figura 48- Células rotacionadas distanciadas de meia célula.

Energia para polarizações diferentes:

$$E_1 = k \left[\frac{-1}{3} + \frac{+1}{240} + \frac{+1}{376} + \frac{-1}{331} + \frac{+1}{376} + \frac{-1}{3} + \frac{-1}{44} + \frac{+1}{376} + \frac{+1}{24} + \frac{-1}{3} + \frac{+1}{3} + \frac{-1}{44} + \frac{-1}{376} + \frac{+1}{3} + \frac{-1}{3} + \frac{+1}{24} + \frac{-1}{331} + \frac{+1}{24} + \frac{+1}{376} + \frac{-1}{3} \right]$$

$$E_1 = -0.06k.$$

A "kink energy" é igual a: $E_k = -0.06 - 0.06 = -0.12k$.

Uma Célula Convencional e uma Célula Rotacionada Distanciadas de Meia Célula

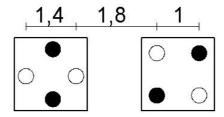


Figura 49— Uma célula convenciona e uma célula rotacionada distanciadas de meia célula.

Energia para polarizações diferentes:

$$E_{1} = k \left[\frac{-1}{2,5} + \frac{+1}{3,5} + \frac{+1}{2,77} + \frac{-1}{3,7} + \frac{+1}{3,23} + \frac{-1}{4,22} + \frac{-1}{3,23} + \frac{+1}{4,22} + \frac{+1}{1,86} + \frac{-1}{2,84} + \frac{-1}{1,86} + \frac{+1}{2,84} + \frac{-1}{2,77} + \frac{+1}{3,7} + \frac{+1}{2,5} + \frac{-1}{3,5} \right]$$

$$E_1 = 0k$$
.

A "kink energy" é igual a: $E_k = 0k$.

Células Convencionais Distanciadas de Uma Célula

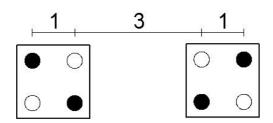


Figura 50- Células convencionais distanciadas de uma célula.

Energia para polarizações diferentes:

$$E_{1} = k \left[\frac{-1}{4} + \frac{+1}{5} + \frac{+1}{4.12} + \frac{-1}{5.1} + \frac{+1}{3} + \frac{-1}{4} + \frac{-1}{3.16} + \frac{+1}{4.12} + \frac{-1}{4} + \frac{+1}{5} + \frac{+1}{4.12} + \frac{-1}{5.1} + \frac{+1}{3} + \frac{-1}{4} + \frac{-1}{3.16} + \frac{+1}{4.12} \right]$$

$$E_1 = 0.0125k$$
.

A "kink energy" é igual a: $E_k = 0.0125 - (-0.0125) = 0.025k$.

Células Rotacionadas Distanciadas de Uma Célula

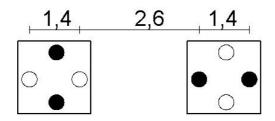


Figura 51- Células rotacionadas distanciadas de uma célula.

Energia para polarizações diferentes:

$$E_{1} = k \left[\frac{-1}{4} + \frac{+1}{337} + \frac{+1}{475} + \frac{-1}{423} + \frac{+1}{475} + \frac{-1}{4} + \frac{-1}{54} + \frac{+1}{475} + \frac{+1}{337} + \frac{-1}{26} + \frac{-1}{4} + \frac{+1}{337} + \frac{-1}{423} + \frac{+1}{337} + \frac{+1}{475} + \frac{-1}{4} \right]$$

$$E_{1} = -0.013k \ .$$

A "kink energy" é igual a: $E_k = -0.013 - 0.013 = -0.026k$.

Uma Célula Convencional e uma Célula Rotacionada Distanciadas de Uma Célula

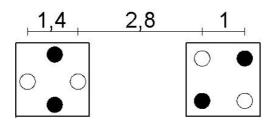


Figura 52— **Uma célula convenciona e uma célula rotacionada** distanciadas de uma célula.

Energia para polarizações diferentes:

$$E_{1} = k \left[\frac{-1}{3,5} + \frac{+1}{4,5} + \frac{+1}{3,7} + \frac{-1}{4,65} + \frac{+1}{4,22} + \frac{-1}{5,22} + \frac{-1}{4,22} + \frac{+1}{5,22} + \frac{+1}{2,84} + \frac{-1}{3,83} + \frac{-1}{2,84} + \frac{+1}{3,83} + \frac{-1}{3,7} + \frac{+1}{4,65} + \frac{+1}{3,5} + \frac{-1}{4,5} \right]$$

$$E_1 = 0k$$
.

A "kink energy" é igual a: $E_k = 0k$.

Células Convencionais em Diagonal

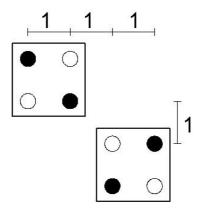


Figura 53- Células convencionais em diagonal.

Energia para polarizações diferentes:

$$E_{1} = k \left[\frac{-1}{282} + \frac{+1}{36} + \frac{+1}{36} + \frac{-1}{424} + \frac{+1}{223} + \frac{-1}{282} + \frac{-1}{316} + \frac{+1}{36} + \frac{+1}{223} + \frac{-1}{316} + \frac{-1}{282} + \frac{+1}{36} + \frac{-1}{141} + \frac{+1}{223} + \frac{+1}{223} + \frac{-1}{282} \right]$$

$$E_{1} = -0.091k.$$

A "kink energy" é igual a: $E_k = -0.091 - 0.091 = -0.18k$.

Células Rotacionadas em Diagonal

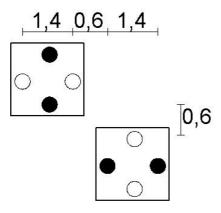


Figura 54- Células rotacionadas em diagonal.

Energia para polarizações diferentes:

$$E_{1} = k \left[\frac{-1}{283} + \frac{+1}{299} + \frac{+1}{382} + \frac{-1}{394} + \frac{+1}{299} + \frac{-1}{283} + \frac{-1}{394} + \frac{+1}{382} + \frac{+1}{184} + \frac{-1}{209} + \frac{-1}{283} + \frac{+1}{299} + \frac{-1}{209} + \frac{+1}{184} + \frac{+1}{299} + \frac{-1}{283} \right]$$

$$E_1 = 0.07k$$
.

A "kink energy" é igual a: $E_k = 0.07 - (-0.07) = 0.14k$.

Uma Célula Convencional e uma Célula Rotacionada em Diagonal

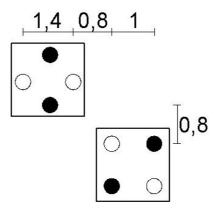


Figura 55- Uma célula convenciona e uma célula rotacionada em diagonal.

Energia para polarizações diferentes:

$$E_{1} = k \left[\frac{-1}{2,66} + \frac{+1}{3,33} + \frac{+1}{3,53} + \frac{-1}{4,06} + \frac{+1}{2,66} + \frac{-1}{3,53} + \frac{-1}{3,33} + \frac{+1}{4,06} + \frac{+1}{1,7} + \frac{-1}{2,34} + \frac{-1}{2,62} + \frac{+1}{3,08} + \frac{-1}{1,7} + \frac{+1}{2,62} + \frac{+1}{2,34} + \frac{-1}{3,08} \right]$$

$$E_1 = 0k.$$

A "kink energy" é igual a: $E_k = 0k$.

Células Convencionais em Diagonal Distanciadas

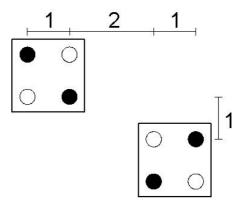


Figura 56- Células convencionais em diagonal.

Energia para polarizações diferentes:

$$E_{1} = k \left[\frac{-1}{3,6} + \frac{+1}{4,47} + \frac{+1}{4,24} + \frac{-1}{5} + \frac{+1}{2,82} + \frac{-1}{3,6} + \frac{-1}{4,24} + \frac{+1}{3,16} + \frac{-1}{4,12} + \frac{-1}{3,6} + \frac{+1}{4,47} + \frac{-1}{2,23} + \frac{+1}{3,16} + \frac{+1}{2,82} + \frac{-1}{3,6} \right]$$

$$E_{1} = -0.02k \ .$$

A "kink energy" é igual a: $E_k = -0.02 - 0.02 = -0.04k$.

Células Rotacionadas em Diagonal Distaciadas

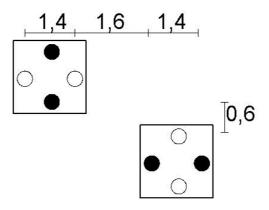


Figura 57- Células rotacionadas em diagonal distanciadas.

Energia para polarizações diferentes:

$$E_{1} = k \left[\frac{-1}{3,6} + \frac{+1}{2,64} + \frac{+1}{3,92} + \frac{-1}{3,05} + \frac{+1}{4,58} + \frac{-1}{3,6} + \frac{-1}{483} + \frac{+1}{3,92} + \frac{+1}{3,54} + \frac{-1}{2,56} + \frac{-1}{3,6} + \frac{+1}{2,64} + \frac{-1}{4,53} + \frac{+1}{3,54} + \frac{+1}{4,58} + \frac{-1}{3,6} \right]$$

$$E_{1} = 0,012k.$$

A "kink energy" é igual a: $E_k = 0.012 - (-0.012) = 0.024k$.

Uma Célula Convencional e uma Célula Rotacionada em Diagonal Distanciadas

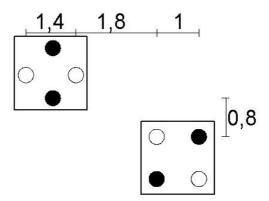


Figura 58- Uma célula convenciona e uma célula rotacionada em diagonal distanciadas.

Energia para polarizações diferentes:

$$E_1 = k \left[\frac{1}{3,08} + \frac{-1}{3,93} + \frac{-1}{2,62} + \frac{+1}{3,59} + \frac{-1}{4,06} + \frac{+1}{4,88} + \frac{+1}{3,56} + \frac{-1}{4,45} + \frac{-1}{3,08} + \frac{+1}{3,75} + \frac{+1}{2,34} + \frac{-1}{3,17} + \frac{+1}{4,06} + \frac{-1}{4,74} + \frac{-1}{3,33} + \frac{+1}{4,13} \right]$$

$$E_1 = 0,013k \; .$$

A "kink energy" é igual a: $E_k = 0.013 - (-0.013) = 0.026k$.

O cálculo da "kink energy" para esta posição possui uma particularidade. São oito pares possíveis respeitando esta posição. Quatro deste pares possuem a "kink energy" conforme calculado acima. As quatro posições restantes possuem a "kink energy" igual em módulo, mas com sinal invertido com relação ao calculado acima. A figura abaixo mostra as quatro posições que possuem a "kink energy" como calculado acima e os quadrados pontilhados mostram as posições das células onde o sinal da "kink energy" é invertido em relação ao calculado.

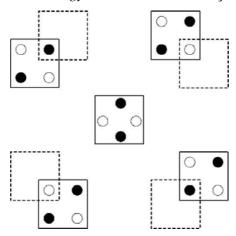


Figura 59– As posições das células com a "kink energy" positiva. Os quadrados pontilhados indicam as posições onde a "kink energy" é negativa devido a inversão de polarização.

Células Convencionais em Meia Diagonal

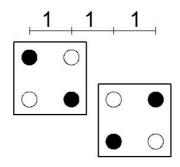


Figura 60- Células convencionais em meia diagonal.

Energia para polarizações diferentes:

$$\begin{split} E_1 = k \left[\frac{-1}{223} + \frac{+1}{3,16} + \frac{+1}{2,82} + \frac{-1}{3,6} + \frac{+1}{1,41} + \frac{-1}{2,23} + \frac{-1}{2,23} + \frac{+1}{2} + \frac{-1}{2} + \frac{-1}{3} + \frac{-1}{2,23} + \frac{+1}{3,16} - 1 + \frac{+1}{2} + \frac{+1}{1,41} + \frac{-1}{2,23} \right] \\ E_1 = -0.09k \; . \end{split}$$

A "kink energy" é igual a: $E_k = -0.09 - 0.09 = -0.18k$.

Células Rotacionadas em Meia Diagonal

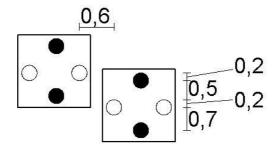


Figura 61- Células rotacionadas em meia diagonal.

Energia para polarizações diferentes:

$$E_{1} = k \left[\frac{-1}{2,19} + \frac{+1}{2,06} + \frac{+1}{3,14} + \frac{-1}{3,05} + \frac{+1}{2,71} + \frac{-1}{2,19} + \frac{-1}{3,52} + \frac{+1}{3,14} + \frac{+1}{1,31} + \frac{-1}{1,08} + \frac{-1}{2,19} + \frac{+1}{2,06} + \frac{-1}{2,06} + \frac{+1}{1,31} + \frac{+1}{2,71} + \frac{-1}{2,19} \right]$$

$$E_1 = 0.023k$$
.

A "kink energy" é igual a: $E_k = 0.023 - (-0.023) = 0.046k$.

Uma Célula Convencional e uma Célula Rotacionada em Meia Diagonal

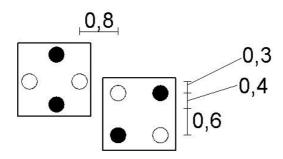


Figura 62- Uma célula convenciona e uma célula rotacionada em meia diagonal distanciadas.

Energia para polarizações diferentes:

$$E_{1} = k \left[\frac{-1}{1,8} + \frac{+1}{2,69} + \frac{+1}{2,5} + \frac{-1}{3,2} + \frac{+1}{2,22} + \frac{-1}{3,21} + \frac{-1}{2,55} + \frac{+1}{3,45} + \frac{+1}{0,85} + \frac{-1}{1,82} + \frac{-1}{1,52} + \frac{+1}{2,22} + \frac{-1}{1,55} + \frac{+1}{2,53} + \frac{+1}{1,61} + \frac{-1}{2,57} \right]$$

$$E_{1} = 0,342k.$$

A "kink energy" é igual a: $E_k = 0.342 - (-0.342) = 0.684k$.

Semelhante ao caso das células em diagonal distanciadas, o valor da "kink energy" varia de acordo com a posição da célula. A figura abaixo ilustra a posição das células com o valor da "kink energy" positivo. Os quadrados pontilhados representam as posição das células com o valor da "kink energy" negativo.

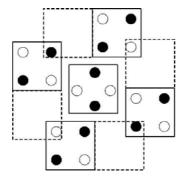


Figura 63— As posições das células com a "kink energy" positiva. Os quadrados pontilhados indicam as posições onde a "kink energy" é negativa devido a inversão de polarização.

Células Convencionais em Meia Diagonal Distanciadas

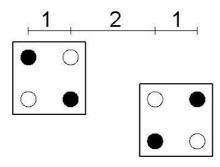


Figura 64- Células convencionais em meia diagonal distanciadas.

Energia para polarizações diferentes:

$$E_{1} = k \left[\frac{-1}{3,16} + \frac{+1}{4,12} + \frac{+1}{3,6} + \frac{-1}{4,47} + \frac{+1}{2,23} + \frac{-1}{3,16} + \frac{-1}{2,82} + \frac{+1}{3,6} + \frac{+1}{3} + \frac{-1}{4} + \frac{-1}{3,16} + \frac{+1}{4,12} + \frac{-1}{2} + \frac{+1}{3} + \frac{+1}{2,23} + \frac{-1}{3,16} \right]$$

$$E_{1} = 0,01k \ .$$

A "kink energy" é igual a: $E_k = 0.01 - (-0.01) = 0.02k$.

Células Rotacionadas em Meia Diagonal Distanciada

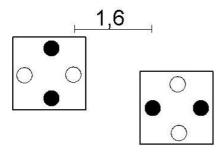


Figura 65- Células rotacionadas em meia diagonal.

Energia para polarizações diferentes:

$$E_{1} = k \left[\frac{-1}{3,13} + \frac{+1}{2,8} + \frac{+1}{4,03} + \frac{-1}{3,78} + \frac{+1}{3,7} + \frac{-1}{3,13} + \frac{-1}{4,49} + \frac{+1}{4,03} + \frac{+1}{2,31} + \frac{-1}{1,83} + \frac{-1}{3,13} + \frac{+1}{2,8} + \frac{-1}{3,04} + \frac{+1}{2,31} + \frac{+1}{3,7} + \frac{-1}{3,13} \right]$$

$$E_{1} = -0.023k.$$

A "kink energy" é igual a: $E_k = -0.023 - 0.023 = -0.046k$.

Uma Célula Convencional e uma Célula Rotacionada em Meia Diagonal Distanciadas

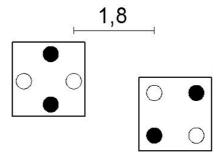


Figura 66- Uma célula convenciona e uma célula rotacionada em meia diagonal distanciadas.

Energia para polarizações iguais:

$$E_{1} = k \left[\frac{-1}{2,69} + \frac{+1}{3,64} + \frac{+1}{3,2} + \frac{-1}{4,03} + \frac{+1}{3,21} + \frac{-1}{4,21} + \frac{-1}{3,45} + \frac{+1}{4,39} + \frac{+1}{1,82} + \frac{-1}{2,81} + \frac{-1}{2,22} + \frac{+1}{3,08} + \frac{-1}{2,53} + \frac{+1}{3,52} + \frac{+1}{2,57} + \frac{-1}{3,55} \right]$$

$$E_{1} = 0,043k.$$

A "kink energy" é igual a: $E_k = -0.043 - 0.043 = -0.086k$.

Semelhante ao caso das células em diagonal distanciadas, o valor da "kink energy" varia de acordo com a posição da célula. A figura ilustra a posição das células com o valor da "kink energy" negativo. Os quadrados pontilhados representam as posição das células com o valor da "kink energy" é positivo.

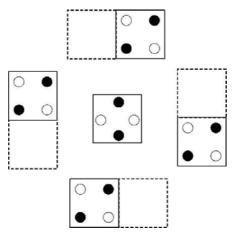


Figura 67- As posições das células com a "kink energy" negativa. Os quadrados pontilhados indicam as posições onde a "kink energy" é positiva devido a inversão de polarização.

Apêndice 2

Este apêndice apresenta o resultado da simulação de alguns circuitos de QCA utilizando o simulador de QCA baseado em uma rede neural.

Inversor

A cor vermelha representa células convencionais com polarização igual a -1 (binário 0) e as azuis representam as células convencionais com polarização igual a 1 (binário 1).

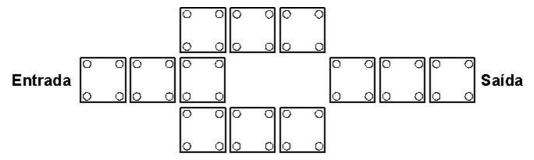


Figura 68- Representação do inversor.

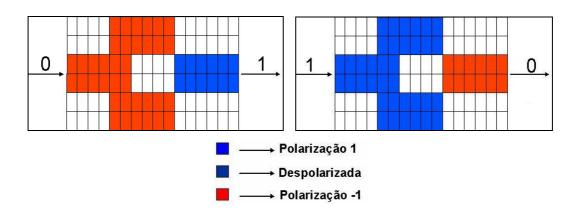


Figura 69– As simulações do inversor para os dois valores de entrada possíveis.

Dois Fios Cruzando em um Plano

A cor marrom representa células rotacionadas com polarização igual a -1 (binário 0) e a amarela representa células rotacionadas com polarização igual a 1 (binário 1).

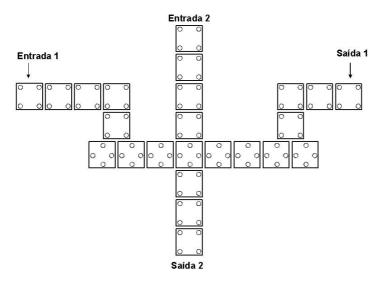


Figura 70- Representação de um circuito com dois fios cruzando em um plano.

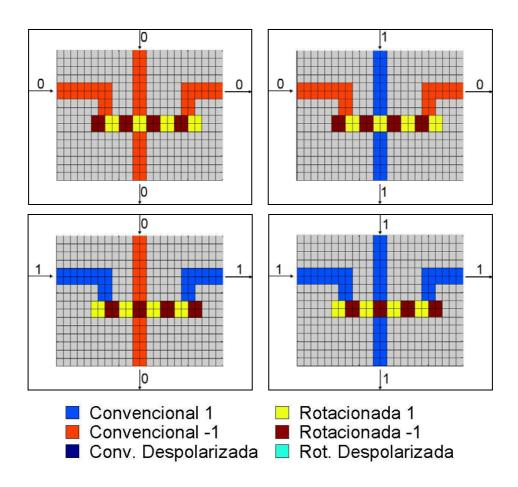


Figura 71- Simulação de dois fios cruzando em um plano. Todos os conjuntos de entradas.

Majority Gate Tradicional

Todo o circuito está em uma zona de clock.

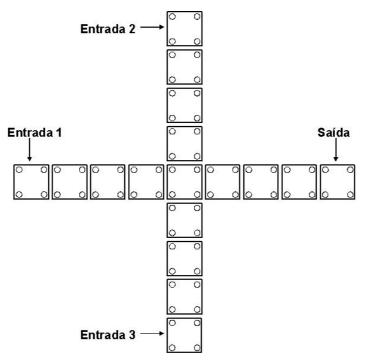
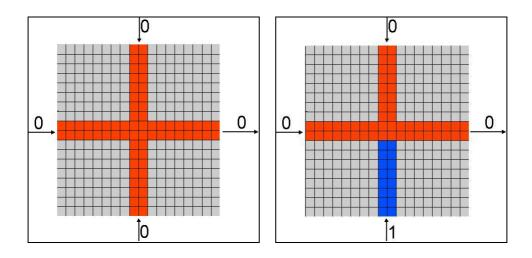


Figura 72- Representação de um majority gate.



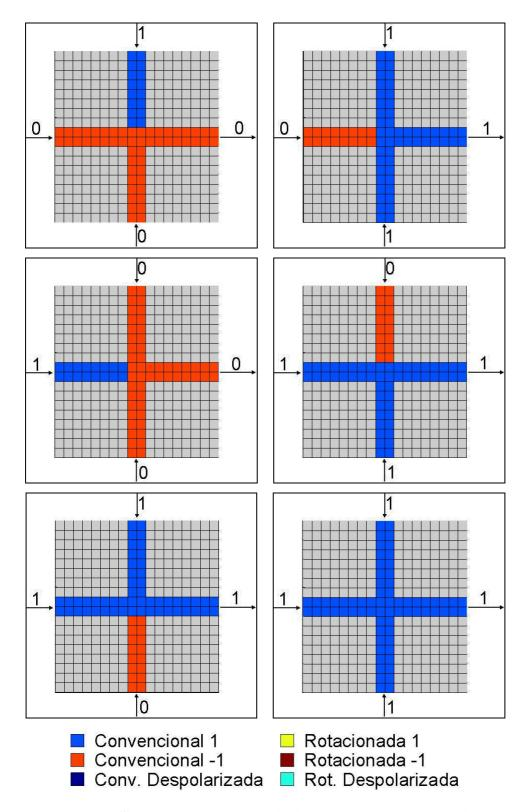


Figura 73- Simulação de um majority gate. Todos os conjuntos de entradas.

Porta Lógica E

A porta lógica E tem um esquema igual ao esquema do majority gate apresentado acima, porém com a entrada 3 fixada sempre com o valor binário 0.

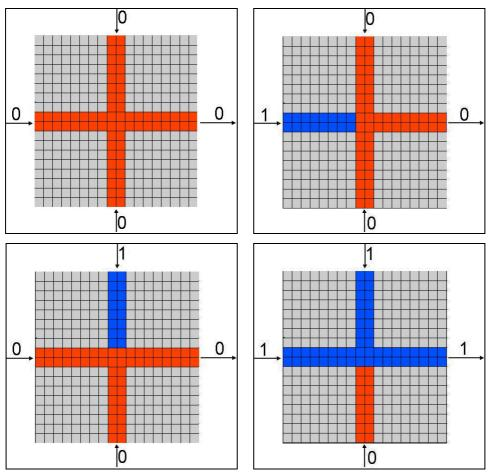


Figura 74— Simulação de um majority gate. Todos os conjuntos de entradas.

A porta lógica OU funciona da mesma maneira, porém com a entrada 3 fixada no binário 1.

Majority Gate Alterado

A simulação deste majority gate é importante pois os sinais quase nunca chegam a porta lógica exatamente como nas simulações anteriores. A figura abaixo ilustra o esquemático do novo majority gate.

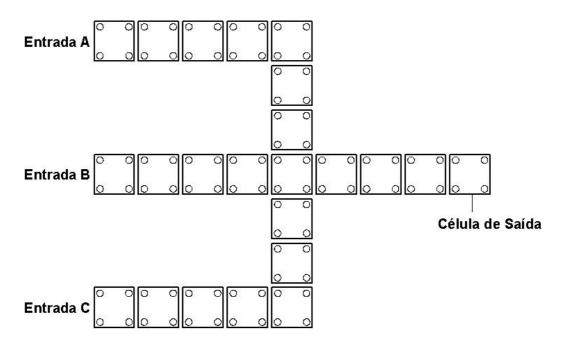
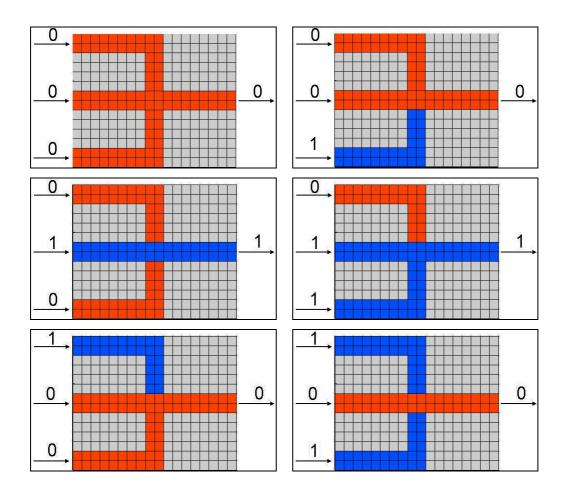


Figura 75- Representação de um majority gate com as entradas partindo da esquerda.



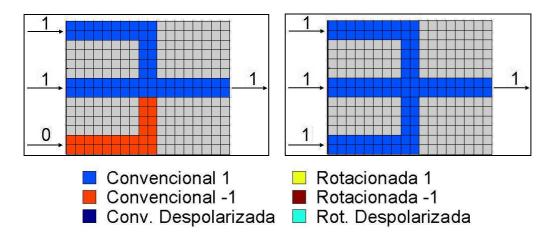


Figura 76— Simulação de um outro majority gate. Todos os conjuntos de entradas.

É fácil perceber que este *majority gate* não funciona corretamente. O resutado da saída é o valor da entrada B, já que este sinal está mais perto da saída do circuito e se propaganda sem interferência das demais entradas. Para que o *majority gate* funcione de maneira propícia, zonas de *clock* devem ser utilizadas para sincronizar o fluxo do circuito.

A figura abaixo ilustra o esquemático do *majority gate* utilizando zonas de *clock* (representadas pelos tons de cinza).

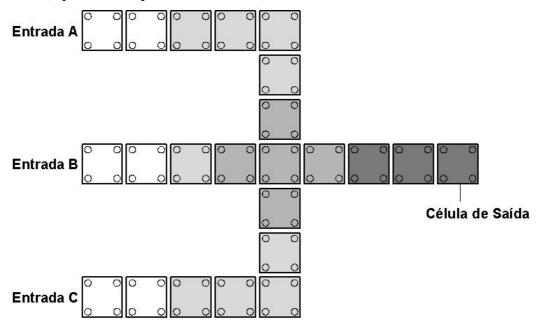


Figura 77- Representação de um *majority gate*, com zonas de *clock*. Os sinais fluem da esquerda para a direita.

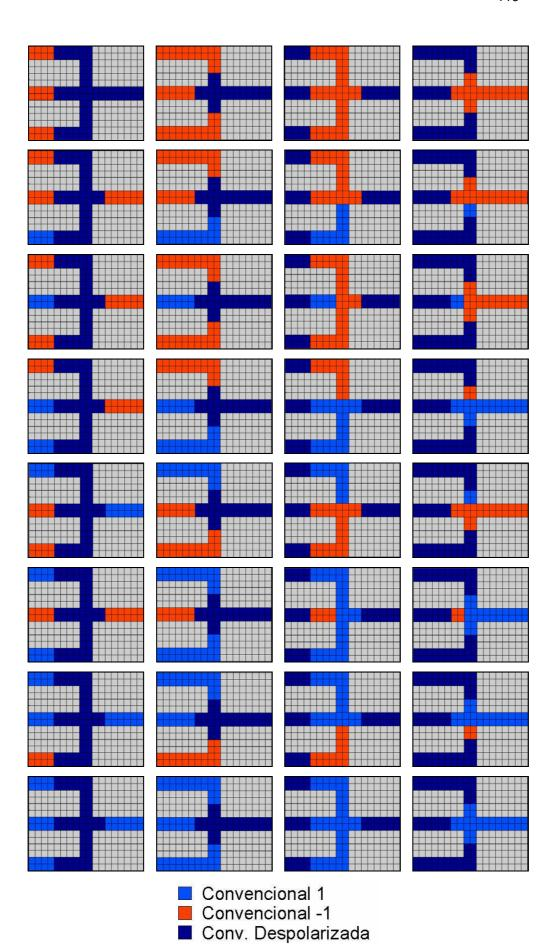


Figura 78– Simulação passo a passo do majority gate com zonas de clock.

Somador Completo

Aqui é apresentado a simulação do somador completo proposto em [85].

A cor azul claro (ciano) representa células rotacionadas despolarizadas e a azul escuro representa as células convencionais despolarizadas.

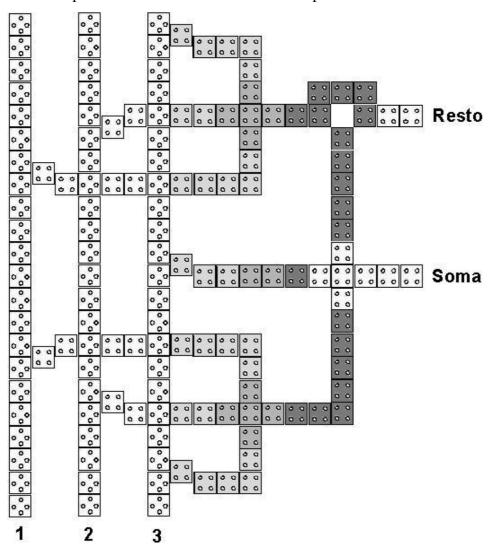
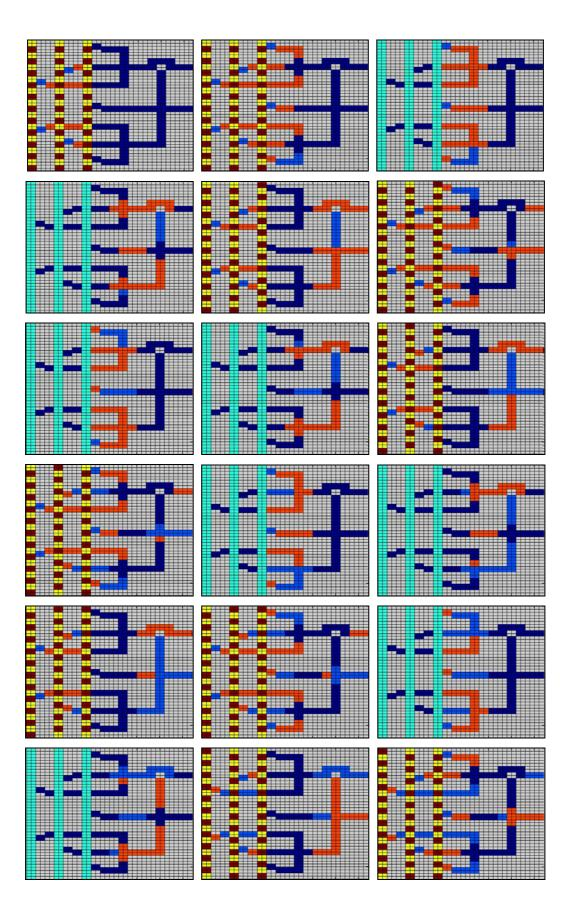


Figura 79- Representação de um somador completo com três entradas.



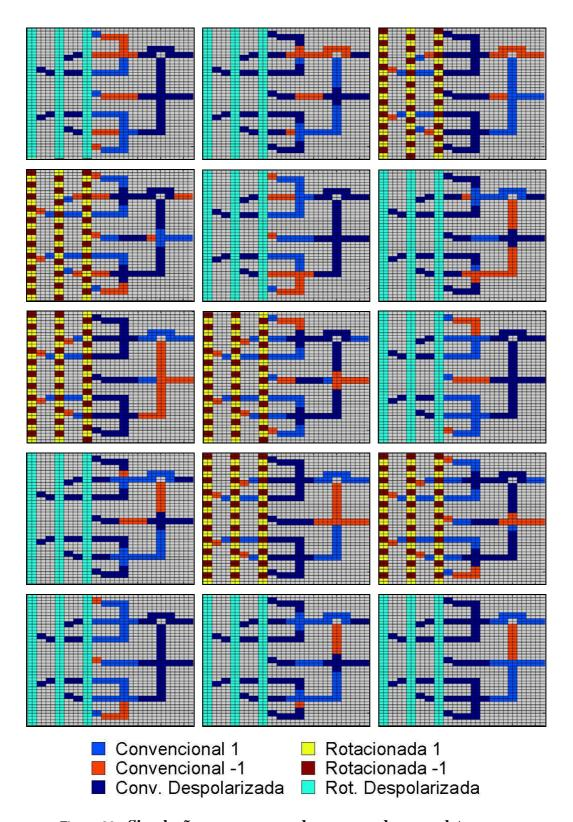


Figura 80- Simulação passo a passo de um somador completo.

Da mesma maneira, um somador completo serial também é simulado aqui. Este circuito permite que outras operações, tal como multiplicação, conforme mostrado em [85].

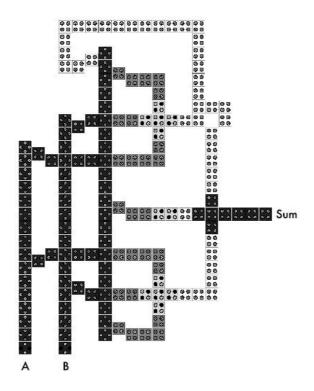
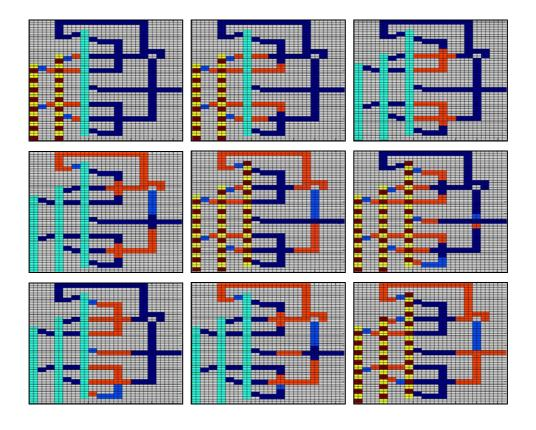
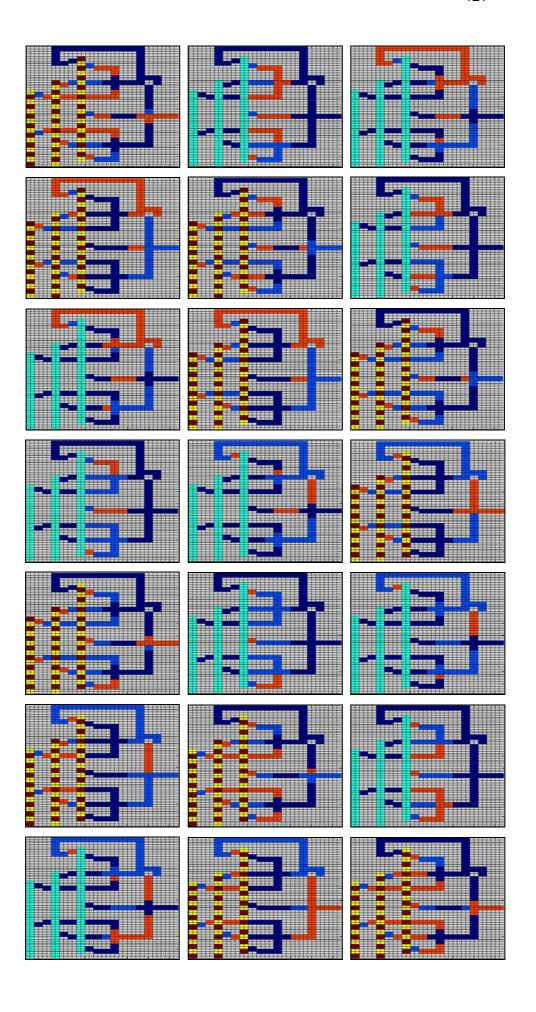


Figura 81- Representação de um somador completo serial com duas entradas.

O primeiro conjunto de entradas, binários 0 e 0, é utilizado para inicializar o circuito.





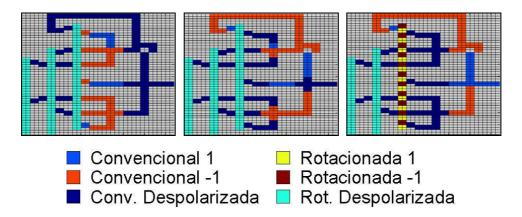


Figura 82- Simulação passo a passo de um somador completo serial.

Apêndice 3

Aqui serão apresentadas as simulações dos circuitos evoluídos.

Porta OU de 4 entradas

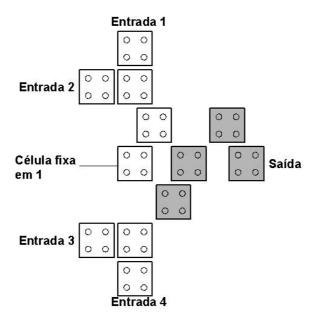
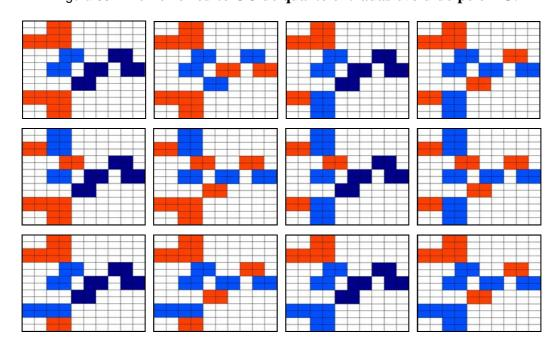


Figura 83- Melhor circuito OU de quarto entradas evoluído pelo AG.



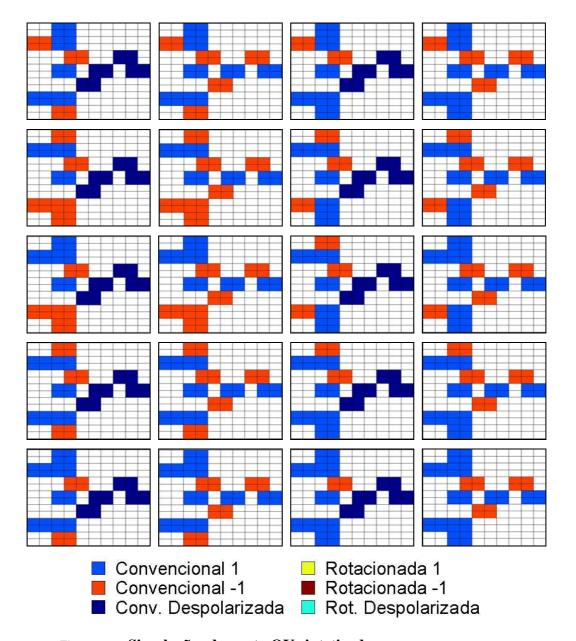


Figura 84- Simulações da porta OU sintetizada.

Multiplexador

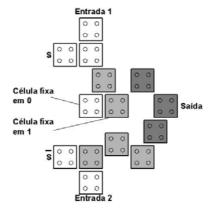


Figura 85- Melhor Multiplexador sintetizado.

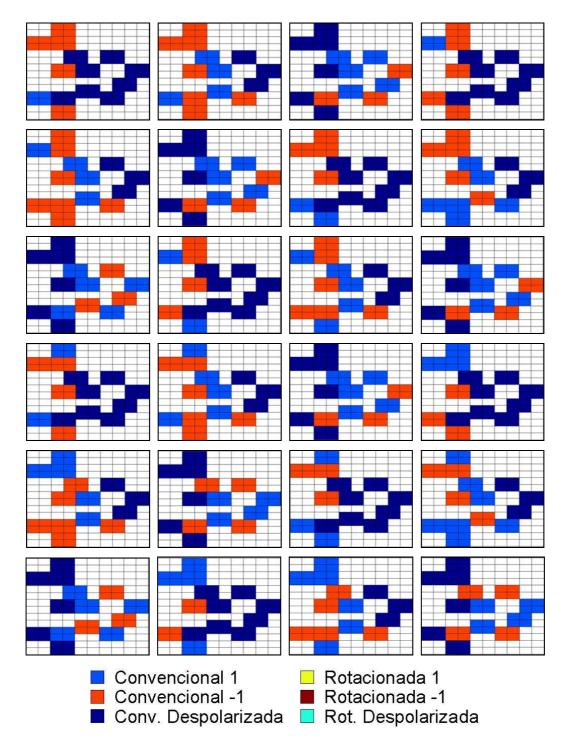


Figura 86- Simulações do Multiplexador sintetizado.

OU Exclusivo

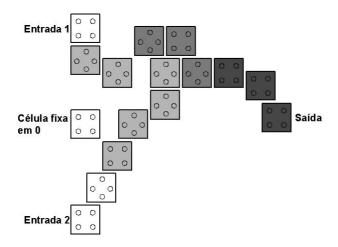


Figura 87- Topologia do melhor Ou-exclusivo encontrado pelo AG. Os tons de cinza representam as zonas de *clock*.

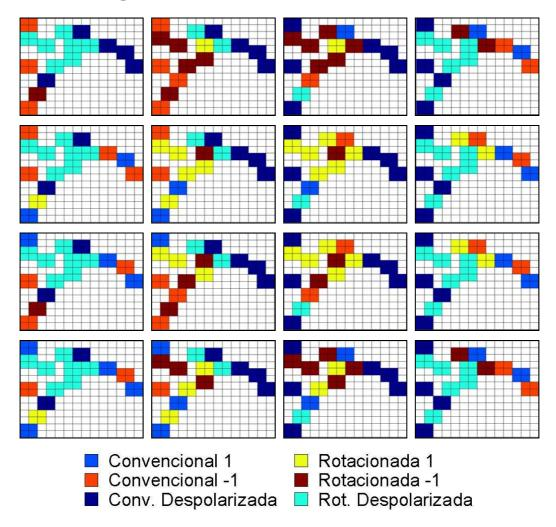


Figura 88- Simulações da porta OU-Exclusivo sintetizada.

Somador Completo – Alternativa 1

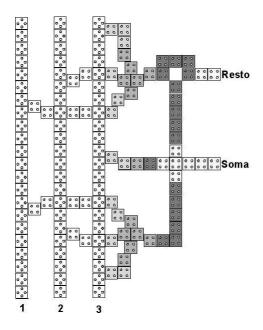
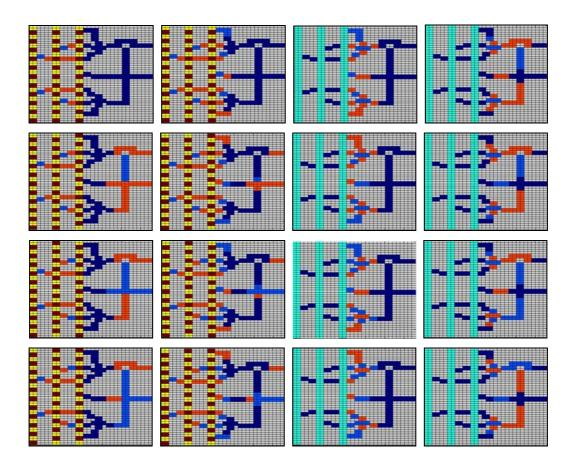


Figura 89- Topologia do novo circuito do somador completo.



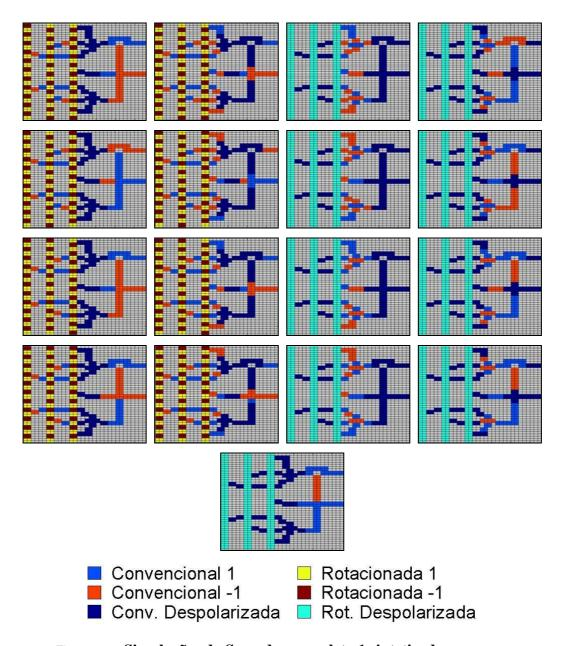


Figura 90- Simulações do Somador completo 1 sintetizado.

Somador Completo - Alternativa 2

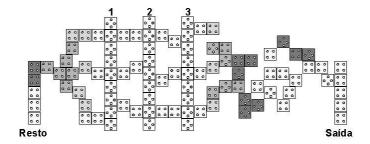
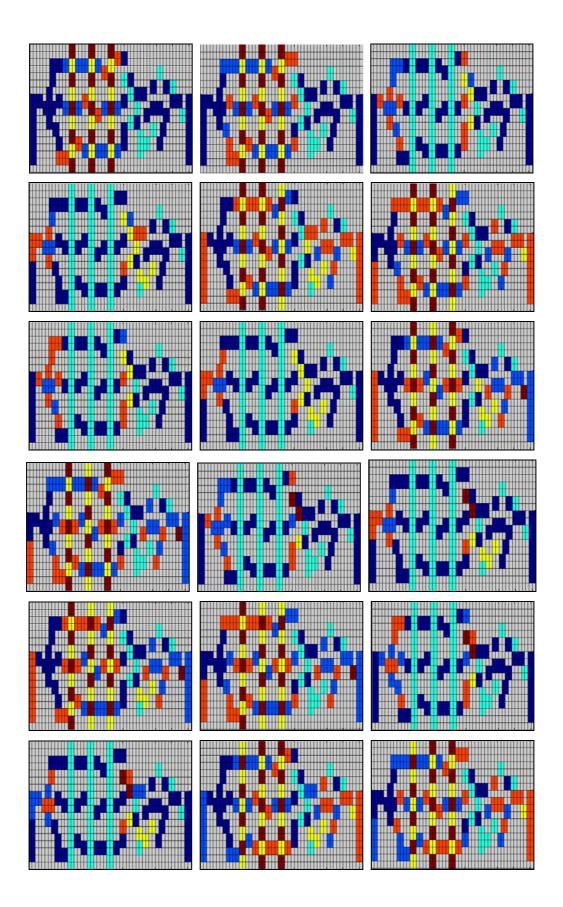


Figura 91– **Topologia do novo circuito do somador completo** – **alternativa 2.**



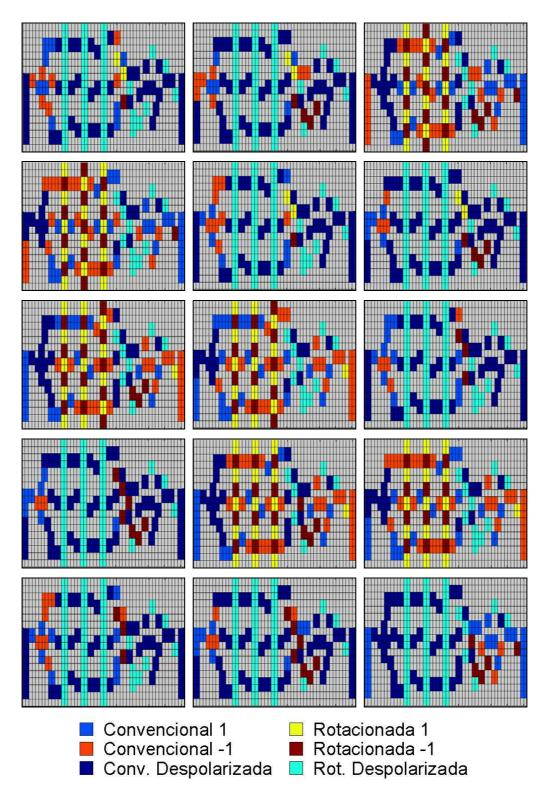


Figura 92- Simulações do Somador completo 1 sintetizado.